

# Kategorie:Mikrobiologie

## Subcategories

This category has the following 7 subcategories, out of 7 total.

### B

- ▶ Bakterie (97 P, 3 F)

### C

- ▶ Cyanóza (5 P)

### M

- ▶ Mikrobiologická schémata (36 F)

### P

- ▶ Paraziti (35 P)
- ▶ Plotny (137 F)

### V

- ▶ Viry (42 P, 1 F)

### Z

- ▶ Základy DNA diagnostiky (10 P)

## Pages in category "Mikrobiologie"

The following 200 pages are in this category, out of 483 total.

(previous page) (next page)

### A

- Acinetobacter calcoaceticus
- Actinobacillus
- Actinomyces
- Actinomyces israeli
- Adenoviry
- Aeromonády a plesiomonády
- Aflatoxín
- AIDS
- Aktinomykóza
- Aktivní imunizace
- Akutní faryngitida
- Akutní virová encefalitida
- Alergeny
- Alergická bronchopulmonální aspergilóza
- Amfenikoly
- Amfizoické améby
- Amikacin
- Aminoglykosidy
- Anatoxin
- Anthelmintika
- Antibiotika
- Antibiotika (neonatologie)
- Antigen
- Antimykotika
- Antisepse
- Antrax
- Antropozoonózy
- Arboviry
- Arcanobacterium haemolyticum

- Askarióza
- Aspergillus
- Aspergilom
- Aspergilové infekce
- Aspergilóza
- Portál:Atlas mikrobiologických kultivací
- Atypická mykobakteria
- Atypické pneumonie

## B

- Babesióza
- Bacillus
- Bacitracin
- Bacitracinový test
- Bacteroides
- Baktericidní
- Bakterie
- Bakterie skupiny HACEK
- Bakteriofág (heslo)
- Bakteriofágová terapie
- Bakteriální gastroenteritidy
- Bakteriální spora
- Bakteriální toxiny
- Bakteriální vaginóza
- Bartonella henselae
- Barvení na acidorezistenci podle Ziehl-Neelsena
- Barvení podle Giemsy
- Beta-laktamázy
- Betalaktamová antibiotika
- Bifidobacterium
- Biochemie virů
- Biofilm
- Biologická membrána
- Biologické zbraně
- Bordetella
- Bordetella parapertussis
- Bordetella pertussis
- Borrelia burgdorferi
- Botulismus
- Brucella
- Brucelóza
- Bunsenův kahan
- Buněčná membrána
- Buněčná stěna bakterií
- Buněčné jádro
- Buněčné kultury
- Burkholderia
- Burkholderia cepacia
- Burkholderia mallei
- Burkholderia pseudomallei
- Burriho barvení
- Buňka

## C

- CAMP test
- Campylobacter
- Candida auris
- Carrionova nemoc
- Cefalosporiny
- Chemicko-parazitární teorie
- Chinolony
- Chlamydia trachomatis
- Chlamydie
- Chlamydophila pneumoniae
- Chloramfenikol
- Cholera
- Chronická nekrotizující aspergilóza
- Chřipka
- Ciklopirox
- Citrobacter
- Clostridium
- Clostridium difficile
- Clostridium perfringens

- *Clostridium perfringens*
- *Clostridium tetani*
- Colistin
- *Corynebacterium*
- *Corynebacterium diphtheriae*
- *Corynebacterium jeikeium*
- COVID-19
- *Coxiella burnetii*
- *Cryptococcus neoformans*
- Cytomegalovirus

## D

- Dermatofytózy
- Dermatomykózy
- Dezinfekce a sterilizace
- Diagnostika AIDS
- Diagnostika helikobakterové infekce
- Diferenciální diagnostika průjmových onemocnění
- Diftérie
- Dimorfní houby
- *Dirofilarióza*
- Diskový difuzní test
- DNA viry

## E

- E-test
- EBV
- *Echinococcus granulosus*
- *Echinococcus multilocularis*
- Echinokokóza
- Echovírusy
- *Eczema microbiale*
- Ehrlichioóza
- *Eikenella*
- Eliminace nákazy
- Endotoxin
- *Entamoeba histolytica*
- *Enterobacter*
- Enterobióza
- *Enterococcus*
- Enterohemoragická *Escherichia coli*
- ENTEROtest
- Enterotoxikózy
- Enterotoxiny
- Eradikace nákazy
- Erysipel
- Erysipeloid
- *Erysipelothrix rhusiopathiae*
- *Escherichia coli*

## F

- Faktory virulence bakterií
- Fidaxomicin
- Filárie
- Flaviviry
- Flebogram
- *Francisella tularensis*
- *Fusobacterium*
- Fyziologická bakteriální flóra lidského těla

## G

- Gastrointestinální parazitózy
- Genitální herpes
- *Giardia lamblia*
- Gingivo-parodontální projevy u virových onemocnění
- Glycylcykliny
- Glykopeptidy
- Gramnegativní anaerobní tyčinky a koky
- Gramovo barvení
- Grampozitivní nesporulující anaeroby
- Griffithův experiment

## H

- Haemophilus ducreyi
- Haemophilus influenzae
- Helicobacter pylori
- Hemofilová meningitida
- Hemofilové infekce
- Hemokultura
- Hemoragické horečky
- Hepadnaviridae
- Hepatitida A
- Hepatitida B
- Hepatitida C
- Hepatitida D
- Hepatitida E
- Hepatitida F
- Hepatitida G
- Herpes zoster
- Herpesviry
- Herpetická meningoencefalitida
- HHV-8
- HIV
- Hnisavá meningitida (infekce)
- Hnisavá meningitida (pediatrie)
- Horečka dengue
- Hymenolepióza

## I

- Impetigo
- Imunitní obrana proti intracelulárním bakteriím a plísním
- In vitro kultivace
- Infekce
- Infekce ohrožující plod
- Infekce streptokoky skupiny A
- Infekce tzv. necholerovými vibrii
- *Infekce vyvolané cytomegalovirem*
- Infekce vyvolané enterokoky
- Infekce vyvolané Escherichia coli
- Infekce vyvolané HHV-6 a HHV-7
- Infekce způsobené Streptococcus agalactiae
- Infekční mononukleóza
- Infekční nemoci jako choroby z povolání
- Infekční onemocnění mozku
- Inkubační doba

(previous page) (next page)

## Media in category "Mikrobiologie"

The following 171 files are in this category, out of 171 total.



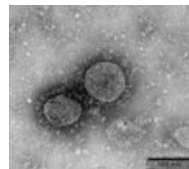
10123 lores.jpg  
700 × 475; 60 KB



10187 lores.jpg  
700 × 520; 29 KB



10828 lores.jpg  
700 × 809; 99 KB



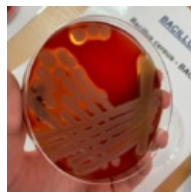
2019-nCoV kmen...  
778 × 694; 193 KB



Actinomyces isra...  
2,272 × 1,704; 787 KB



B.anthraxis1.jpg  
308 × 246; 63 KB



Bacillus cereus, K...  
553 × 553; 447 KB



Bacillus cereus, ...  
531 × 530; 414 KB



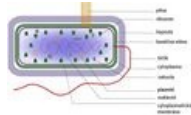
Bacillus subtilis, ...  
613 × 613; 602 KB



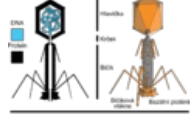
Bacillus subtilis-...  
1,481 × 1,457; 287 KB



Bakterie dle Gra...  
2,736 × 1,725; 342 KB



Bakterie, schema...  
877 × 533; 73 KB



Bakteriofág.png  
1,435 × 990; 239 KB



Candida albicans...  
1,569 × 1,478; 277 KB



Candida crusei.png  
583 × 584; 555 KB



Candida tropicali...  
606 × 606; 545 KB



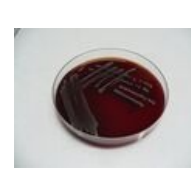
Cell cultures.jpg  
640 × 480; 34 KB



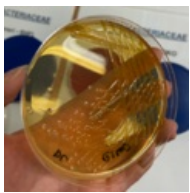
Citrobacter freun...  
2,560 × 1,920;  
2.16 MB



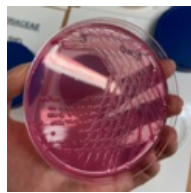
Citrobacter freun...  
2,560 × 1,920;  
2.06 MB



Citrobacter freun...  
2,560 × 1,920;  
1.93 MB



Citrobacter koser...  
547 × 547; 508 KB



Citrobacter koser...  
590 × 589; 603 KB



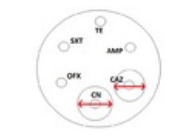
Citrobacter koser...  
557 × 557; 481 KB



Citrobacter koser...  
689 × 689; 652 KB



Corynebacterium...  
576 × 576; 510 KB



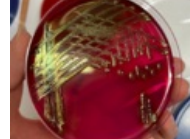
DDT.png  
608 × 427; 29 KB



Desinfekce rukou...  
1,600 × 1,200; 514 KB



E. coli, DC.png  
589 × 589; 516 KB



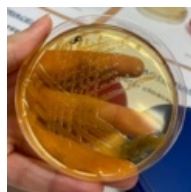
E. coli, ENDO.png  
533 × 533; 497 KB



E. coli, KA.png  
586 × 586; 456 KB



E. coli.png  
684 × 684; 654 KB



Enterobacter clo...  
609 × 608; 622 KB



Enterobacter clo...  
641 × 641; 699 KB



Enterobacter clo...  
534 × 534; 459 KB



Enterobacter clo...  
723 × 724; 681 KB



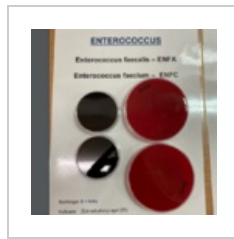
Enterococcus fae...  
1,333 × 1,219; 306 KB



Enterococcus fae...  
1,456 × 1,365; 266 KB



Enterococcus fae...  
645 × 644; 631 KB



Enterococcus.png  
677 × 677; 600 KB



ENTEROtest 16.jpg  
2,560 × 1,920; 2.1 MB



Escherichia coli-...  
2,560 × 1,920; 2.11 MB



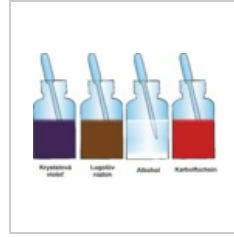
Escherichia coli-E...  
2,560 × 1,920; 2.16 MB



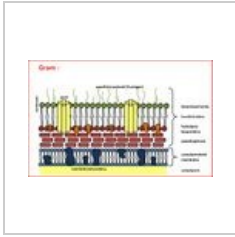
Escherichia coli-k...  
2,560 × 1,920; 1.92 MB



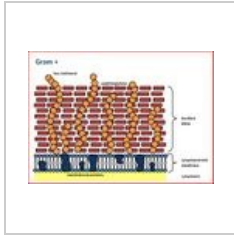
Etest.png  
793 × 638; 60 KB



Gb.png  
3,125 × 2,144; 1.17 MB



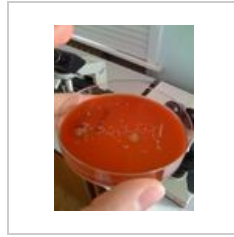
Gram negativní.JPG  
887 × 552; 108 KB



Gram pozitivní.JPG  
778 × 555; 110 KB



IMG 4253.JPG  
739 × 993; 187 KB



IMG 4255.JPG  
1,200 × 1,600; 541 KB



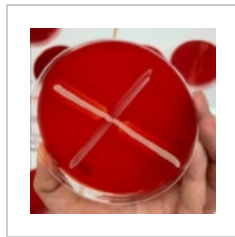
Interakce-produkt...  
603 × 665; 613 KB



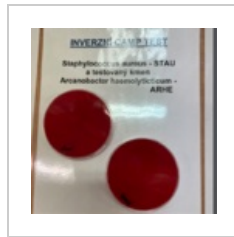
Interpretace mikr...  
682 × 506; 106 KB



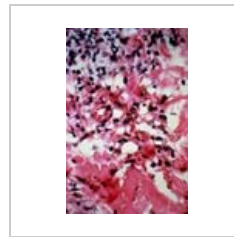
Inverzni CAMP.JPG  
2,560 × 1,920; 1.99 MB



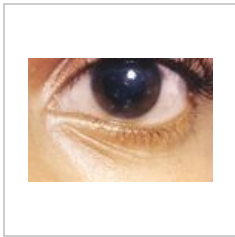
Inverzní CAMP te...  
621 × 622; 467 KB



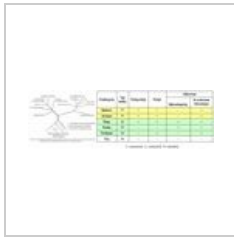
Inverzní CAMP te...  
646 × 647; 609 KB



Kaposi.jpg  
700 × 1,063; 115 KB



Keratitis.jpg  
700 × 465; 36 KB



Klasifikace mikro...  
868 × 276; 60 KB



Klebsiella pneum...  
610 × 610; 610 KB



Klebsiella pneum...  
565 × 565; 524 KB



Klebsiella pneum...  
617 × 617; 600 KB



Klebsiella pneum...  
2,560 × 1,920; 2.03 MB



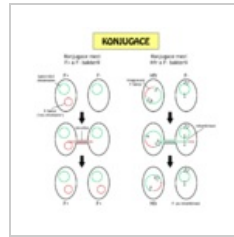
Klebsiella pneum...  
2,560 × 1,920; 2.06 MB



Klebsiella pneum...  
2,560 × 1,920; 2.01 MB



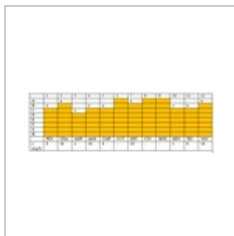
Klebsiella pneum...  
687 × 687; 627 KB



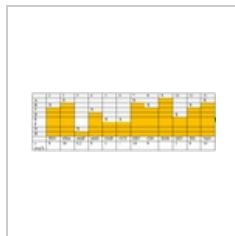
Konjugace.png  
1,088 × 1,088; 45 KB



Kultivace moc.JPG  
2,560 × 1,920;  
2.02 MB



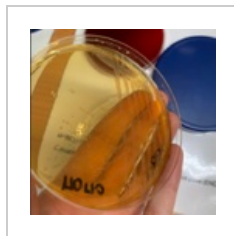
MBC.png  
630 × 204; 8 KB



MIC mikrobiologi...  
630 × 201; 9 KB



Mikrobiologie - vz...  
859 × 640; 113 KB



Morganella morg...  
571 × 572; 505 KB



Morganella morg...  
587 × 586; 601 KB



Morganella morg...  
510 × 509; 400 KB



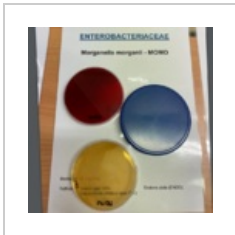
Morganella morg...  
2,560 × 1,920;  
2.04 MB



Morganella morg...  
2,560 × 1,920;  
2.04 MB



Morganella morg...  
2,560 × 1,920;  
1.94 MB



Morganella morg...  
718 × 719; 662 KB



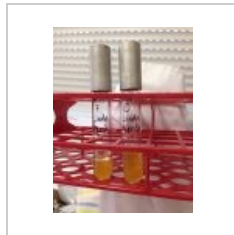
Negativni CAMP.J...  
2,560 × 1,920;  
1.88 MB



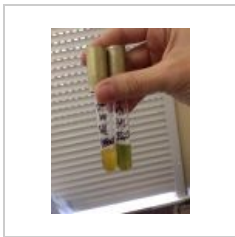
Neisseria lactami...  
631 × 631; 628 KB



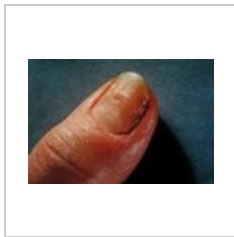
Neisseria pharyn...  
2,560 × 1,920; 276  
KB



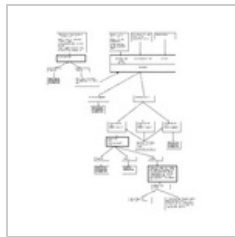
OF test 2.jpg  
360 × 480; 25 KB



OF test.jpg  
360 × 480; 20 KB



PHIL 2923 lores.jpg  
700 × 475; 35 KB



Postup diagnosti...  
1,054 × 1,243; 60  
KB



Postup nanášení ...  
608 × 427; 12 KB



Postup nanášení...  
608 × 427; 38 KB



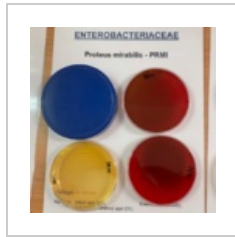
Pozitivni CAMP.JPG  
2,560 × 1,920;  
1.89 MB



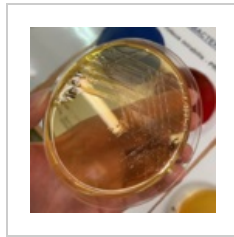
Pozitivní CAMP te...  
654 × 655; 480 KB



Prevotella melani...  
700 × 460; 32 KB



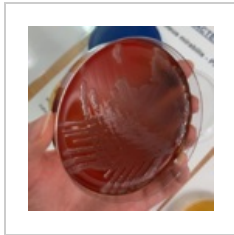
Proteus mirabilis ...  
686 × 687; 662 KB



Proteus mirabilis...  
579 × 580; 573 KB



Proteus mirabilis,...  
530 × 530; 425 KB



Proteus mirabilis,...  
525 × 525; 437 KB



Proteus mirabilis,...  
540 × 540; 453 KB



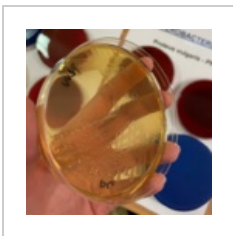
Proteus mirabilis-...  
2,560 × 1,920;  
2.05 MB



Proteus mirabilis-...  
2,560 × 1,920;  
1.98 MB



Proteus mirabilis-...  
2,560 × 1,920;  
1.69 MB



Proteus vulgaris, ...  
586 × 587; 548 KB



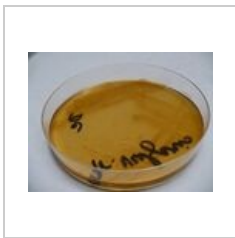
Proteus vulgaris, ...  
603 × 603; 564 KB



Proteus vulgaris, ...  
534 × 533; 405 KB



Proteus vulgaris, ...  
610 × 610; 555 KB



Proteus vulgaris-...  
2,560 × 1,920;  
2.03 MB



Proteus vulgaris-...  
2,560 × 1,920;  
2.09 MB



Proteus vulgaris-...  
2,560 × 1,920;  
1.73 MB



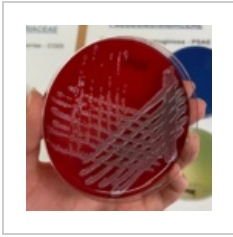
Proteus vulgaris-...  
697 × 697; 706 KB



Pseudomonas ae...  
602 × 602; 640 KB



Pseudomonas ae...  
556 × 556; 501 KB



Pseudomonas ae...  
497 × 498; 414 KB



Pseudomonas ae...  
601 × 601; 569 KB



Pseudomonas ae...  
2,560 × 1,920;  
2.03 MB



Pseudomonas ae...  
2,560 × 1,920;  
1.89 MB



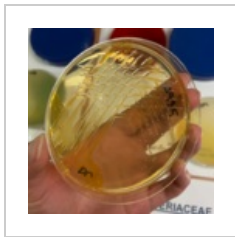
Pseudomonas ae...  
2,560 × 1,920;  
1.89 MB



Pseudomonas ae...  
2,560 × 1,920;  
2.13 MB



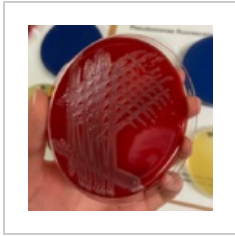
Pseudomonas ae...  
625 × 624; 561 KB



Pseudomonas flu...  
574 × 574; 558 KB



Pseudomonas flu...  
465 × 466; 365 KB



Pseudomonas flu...  
556 × 556; 521 KB



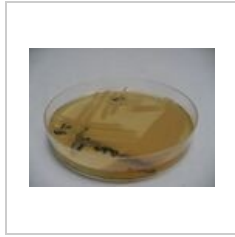
Pseudomonas flu...  
505 × 504; 399 KB



Pseudomonas flu...  
2,560 × 1,920;  
2.07 MB



Pseudomonas flu...  
2,560 × 1,920;  
2.01 MB



Pseudomonas flu...  
2,560 × 1,920;  
2.09 MB



Pseudomonas flu...  
673 × 673; 614 KB



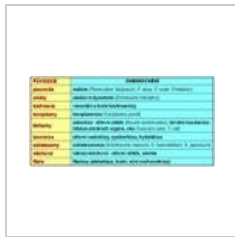
Puvodci chorob c...  
687 × 339; 95 KB



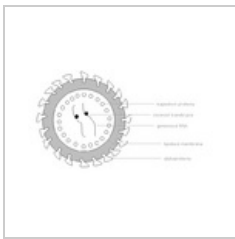
Puvodci chorob c...  
676 × 363; 100 KB



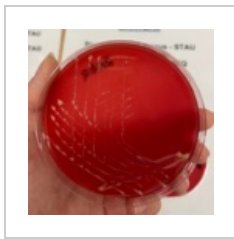
Puvodci chorob c...  
683 × 388; 115 KB



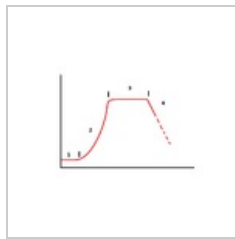
PŮVODCI CHORO...  
687 × 339; 101 KB



Retrovirus - sché...  
617 × 351; 35 KB



Rhodococcus equ...  
614 × 614; 528 KB



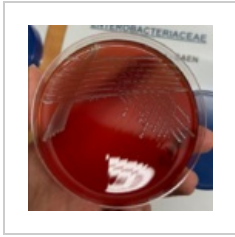
Růstová křivka.png  
835 × 507; 11 KB



Sacharomycetac...  
726 × 726; 715 KB



Salmonella enteri...  
489 × 489; 420 KB



Salmonella enteri...  
568 × 568; 503 KB



Salmonella enteri...  
713 × 713; 642 KB

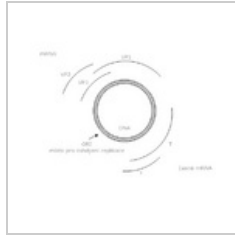


Schéma genomu ...  
467 × 391; 16 KB



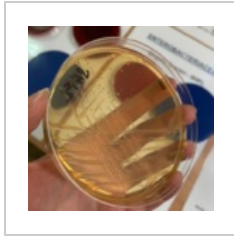
Serratia marcesc...  
614 × 614; 571 KB



Serratia marcesc...  
675 × 674; 691 KB



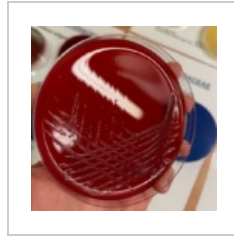
Serratia marcesc...  
837 × 837; 787 KB



Shigella flexneri, ...  
609 × 609; 607 KB



Shigella flexneri, ...  
644 × 644; 657 KB



Shigella flexneri, ...  
647 × 646; 654 KB



Shigella flexneri-...  
2,560 × 1,920;  
2.19 MB



Shigella flexneri-...  
2,560 × 1,920;  
2.08 MB



Shigella flexneri-...  
2,560 × 1,920;  
2.13 MB



Shigella flexneri-...  
2,560 × 1,920;  
1.97 MB



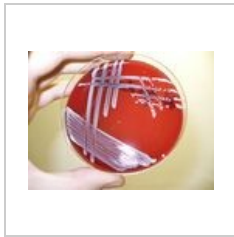
Shigella flexneri...  
654 × 653; 580 KB



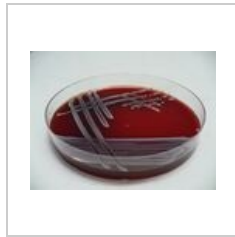
Staphylococcus a...  
2,560 × 1,920; 297  
KB



Staphylococcus a...  
2,560 × 1,920; 294  
KB



Staphylococcus e...  
2,560 × 1,920;  
2.09 MB



Staphylococcus e...  
2,560 × 1,920;  
1.96 MB



Streptococcus ag...  
610 × 610; 566 KB



Streptococcus ag...  
2,560 × 1,920;  
1.84 MB



Streptococcus ag...  
1,538 × 1,403; 282  
KB



Streptococcus pn...  
602 × 603; 557 KB



Streptococcus pn...  
672 × 671; 622 KB



Streptococcus pn...  
2,560 × 1,920;  
1.75 MB



Streptococcus pn...  
2,560 × 1,920;  
1.84 MB



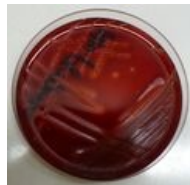
Streptococcus pn...  
2,560 × 1,920; 2 MB



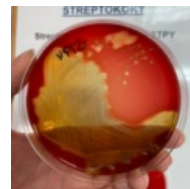
Streptococcus pn...  
2,560 × 1,920; 271 KB



Streptococcus py...  
2,560 × 1,920; 290 KB



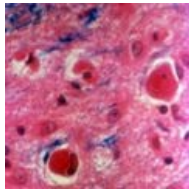
Streptococcus py...  
1,387 × 1,367; 281 KB



Streptococcus py...  
594 × 594; 537 KB



Streptococcus vir...  
624 × 624; 583 KB



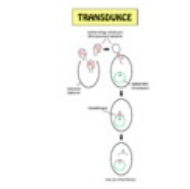
Subakutní skeróz...  
300 × 300; 36 KB



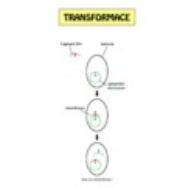
Tasemnice-01.png  
4,257 × 3,539; 849 KB



Tick.jpg  
700 × 475; 46 KB



Transdukce.png  
576 × 1,088; 31 KB



Transformace (m...  
576 × 1,088; 25 KB



Yersinia enteroco...  
2,560 × 1,920; 1.97 MB



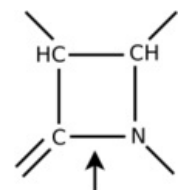
Yersinia enteroco...  
2,560 × 1,920; 2.12 MB



Yersinia enteroco...  
2,560 × 1,920; 1.95 MB



Způsoby genové ...  
604 × 190; 6 KB



B-laktamový kru...  
148 × 168; 3 KB